

ارتعاش جانبی صفحه گرافنی تک لایه تحت تأثیر میدان مغناطیسی دو بعدی با روش مربعات دیفرانسیلی

آرزو اسماعیلی^۱، حسن بیگلری^۲

۱ دانشجوی کارشناسی ارشد، دانشکده مهندسی مکانیک، دانشگاه تبریز، تبریز

۲ استادیار، دانشکده مهندسی مکانیک، دانشگاه تبریز، تبریز، hbiglari@tabrizu.ac.ir

تاریخ دریافت: ۱۳۹۵/۰۳/۰۸

تاریخ پذیرش: ۱۳۹۵/۱۲/۱۰

چکیده

در این مقاله، معادله حاکم بر ارتعاش جانبی صفحه گرافنی تک لایه تحت تأثیر میدان مغناطیسی دو بعدی درون صفحه‌ای، با احتساب نیرو و ممان خمشی ناشی از آن، برای شرایط تکیه‌گاهی مختلف برای نخستین بار توسط روش مربعات دیفرانسیلی بررسی شده است. برای تعیین معادله حاکم بر ارتعاش صفحه از تئوری غیر محلی با در نظر گرفتن نیروی مغناطیسی لورنتز بهره گرفته شده است. پس از استخراج معادله دیفرانسیل حاکم، معادله حاصل بی‌بعد شده و فرکانس ارتعاش به ازای شرایط تکیه‌گاهی مختلف به دست می‌آید. اثر سفتی بستر الاستیک، پارامتر غیر محلی، نسبت منظر ورق و اثر میدان مغناطیسی دو بعدی بر فرکانس پایه مورد بحث و بررسی قرار گرفته است. نتایج این بررسی نشان می‌دهد که افزایش سفتی بستر الاستیک، پارامتر غیر محلی و نسبت منظر سبب افزایش فرکانس پایه می‌شود. اما اعمال میدان مغناطیسی دو بعدی داخل صفحه‌ای باعث کاهش سفتی خمشی، افزایش نیروی فشاری داخل صفحه‌ای و در نتیجه کاهش فرکانس پایه می‌گردد.

واژگان کلیدی

صفحة گرافنی، تئوری غیر محلی، میدان مغناطیسی، نیروی لورنتز، روش عددی مربعات دیفرانسیل

۱. مقدمه

ضد خوردگی رزین است؛ زیرا گرافن در صد بیشتری از نور را جذب می‌کند و خواص آبگردی برای دفع آب دارد [۱]. به تازگی پژوهش‌هایی در حوزه خواص مکانیکی، مغناطیسی و سایر خواص فیزیکی نانوسازهای تحت میدان مغناطیسی خارجی انجام شده است. مطالعه درباره این موضوعات برای کاربردهای فناوری آینده مثل سیستم‌های نانوالکترومکانیکی، نانوحسگرها و نانوکامپوزیت‌ها ضروری است. مطالعه روی نانوسازهای مثل نانولوله‌های کربنی و

با پیشرفت فناوری نانو، مطالعه درباره خواص سازه‌های نانو نیز گسترش یافته است. به تازگی استفاده از گرافن به عنوان پرکننده‌های نانویی رسانا در تهیه نانوکامپوزیت‌های صنعتی در زمینه هواپضا، توجهات زیادی را به خود جلب کرده است. این امر به دلیل امکان غلبه بر مشکلات مربوط به سازه هواپیما مانند هدایت الکتریکی و در نتیجه حفاظت در مقابل صاعقه است. علاوه بر این، گرافن موردی ایده‌آل به منظور افزایش خواص

صفحات گرافنی تحت اثر میدان مغناطیسی در بین محققان مورد توجه و پژوه قرار گرفته است. اثر میدان مغناطیسی بر خواص نanolوله‌های کربنی تک‌جذاره و چند‌جذاره در سال‌های گذشته در مراجعی چون [۲] و [۳] صورت گرفته است. در همین زمان، بررسی تأثیر میدان مغناطیسی بر صفحات گرافنی نیز آغاز شده است [۷-۸].

ونگ و همکاران (۲۰۰۹) فرومنجناتیسی‌بودن مواد مبتلى بر گرافن را در دمای اتاق به صورت تجربی نشان دادند [۸]. رفتار فرومنجناتیسی صفحات گرافنی در دمای اتاق به دلیل برخی از نقش‌های اتمی در ساختار صفحات گرافنی است. مورمو و ادیکاری (۲۰۱۱) در مورد ناپایداری محوری نanolوله‌های دوجذاره تحقیق کردند [۹]. تحلیل تأثیر مقیاس در بارهای خمشی نanolوله دوجذاره با مودهای سنکرون و آسنکرون در مطالعات آنها انجام شده است. آنها در مقاله مشابهی ارتعاش غیرمحلي نانوصفحه‌های دوجذاره را، که توسط محیط الاستیک بهم متصل شده‌اند، مطالعه کردند [۱۰]. این مقاله نقطه شروعی برای تحقیقات بیشتر در مورد رفتار نانوصفحات بر پایه گرافن مهیا کرد.

مورمو و پراذهان (۲۰۰۹) در مورد تحلیل ارتعاشات نانوصفحه‌ها تحت پیش‌بار فشاری غیرمحوری تحقیق کردند [۱۱]. در مطالعات آنها، تأثیر مقیاس کوچک و پیش‌فشار غیرمحوری بر فرکانس غیر محلي بررسی شد. کیانی (۲۰۱۲) ارتعاش نanolوله‌های کربنی دوجذاره بر بستر الاستیک در معرض بار محوری را مطالعه کرد [۱۲].

اخیراً تأثیر میدان مغناطیسی بر رفتار صفحات گرافنی و نanolوله‌های کربنی، محققان را مجدوب خود کرده است [۱۳-۱۵]. بعضی از آزمایش‌ها روی نanolوله‌های کربنی تحت میدان الکترومنجناتیس انجام شده است. کیانی (۲۰۱۲) انتشار موج عرضی در نanolوله‌های کربنی تک‌جذاره بر بستر الاستیک در معرض میدان مغناطیسی طولی با استفاده از مدل الاستیستیک غیرمحلي را مطالعه کرده است [۱۶]. نتایج این تحقیق، تأثیر میدان مغناطیسی طولی بر مشخصات موج‌های برشی و خمشی در نanolوله‌های کربنی تک‌جذاره تعییش‌شده روی بستر الاستیک را نشان می‌دهد. مورمو و همکاران (۲۰۱۳) تأثیر میدان مغناطیسی درون‌صفحه‌ای بر ارتعاش عرضی صفحه گرافن تک‌لایه حساس به مغناطیس بر بستر وینکلر را با استفاده از نظریه صفحه الاستیک غیرمحلي و با در نظر گرفتن نیروی مغناطیسی لورنتز

بیان کردند [۱۷]. آنها تأثیر میدان مغناطیسی درون‌صفحه‌ای بر فرکانس‌های طبیعی بالاتر و نسبت ابعاد مختلف صفحه گرافنی تک‌لایه را بررسی کردند. کیانی (۲۰۱۴) در مورد ارتعاش آزاد نانوصفحه‌های رسانا در معرض میدان مغناطیسی درون‌صفحه‌ای تک‌جهته با استفاده از تئوری ورق تغییر شکل برشی غیر محلي تحقیق کرد [۱۸]. او همچنین در مورد تأثیر پارامترهای تعیین‌کننده در معرض میدان مغناطیسی یکبعدی، با استفاده از تئوری صفحه کیرشهف بحث کرده است [۱۹].

در این مقاله، آثار اعمال میدان مغناطیسی درون‌صفحه‌ای دو بعدی در ارتعاش جانبی نانوصفحات گرافنی بررسی می‌شود. صفحه گرافنی در یک محیط الاستیک، مانند ماتریس پلیمری، قرار دارد. برای روابط ساختاری، از نظریه الاستیستیت غیرمحلي استفاده می‌شود. با استفاده از تئوری ورق غیرمحلي و با در نظر گرفتن نیرو و خمس اعمال شده به ورق گرافنی، ناشی از میدان مغناطیسی درون‌صفحه‌ای دو بعدی از طریق معادلات ماکسول، معادلات ارتعاش خمشی صفحه گرافنی به دست آمده و با استفاده از روش مربعات دیفرانسیل حل می‌شود. اثر سفتی بستر الاستیک، پارامتر غیرمحلي و نسبت منظری ورق، با و بدون وجود میدان مغناطیسی، روی فرکانس پایه ورق با شرایط تکیه‌گاهی مختلف مورد بحث و بررسی قرار می‌گیرد. نتایج این بررسی نشان می‌دهد که افزایش سفتی بستر الاستیک، پارامتر غیرمحلي و نسبت منظری سبب افزایش فرکانس پایه در تمامی شرایط تکیه‌گاهی می‌شود. اما اعمال میدان مغناطیسی داخل صفحه‌ای سبب افزایش نیروی فشاری و خمشی داخل صفحه‌ای و در نتیجه کاهش فرکانس پایه می‌شود. در این مقاله اثر میدان مغناطیسی دو بعدی با اختساب نیرو و ممان خمشی ناشی از آن، همچنین حل معادله حاکم با استفاده از روش مربعات دیفرانسیل برای شرایط تکیه‌گاهی مختلف برای نخستین بار صورت در نظر گرفته شده است.

۲. فرمول‌نویسی ریاضی

۲-۱. روابط ماکسول

با فرض اینکه J بردار چگالی جریان، h بردار توزیع میدان مغناطیسی و e بردار قدرت میدان الکتریکی باشد، روابط ماکسول به صورت زیر بیان می‌شوند [۲۰]:

صفحه‌ای و گشتاور خمی ناشی از میدان مغناطیسی در نظر گرفته شده به صورت روابط ۱۲ و ۱۳ است [۱۹]. در این روابط h ضخامت صفحه گرافن مورد نظر است.

$$\begin{aligned} f_x &= -\eta H_y \left\{ H_x \left(u_{y,xx} + u_{y,yy} + u_{z,yz} \right) \right. \\ &\quad \left. - H_y \left(u_{x,xx} + u_{x,yy} + u_{z,xz} \right) \right\} \\ f_y &= \eta H_x \left\{ H_x \left(u_{y,xx} + u_{y,yy} + u_{z,yz} \right) \right. \\ &\quad \left. - H_y \left(u_{x,xx} + u_{x,yy} + u_{z,xz} \right) \right\} \end{aligned} \quad (۱۱)$$

$$f_z = \eta \left\{ H_x^2 \left(u_{y,yz} + u_{z,xx} + u_{z,zz} \right) + H_y^2 \left(u_{x,xz} + u_{z,yy} + u_{z,zz} \right) + H_x H_y \left(-u_{x,yz} - u_{y,xz} + 2u_{z,xy} \right) \right\} \quad (۱۲)$$

$$\mathbf{F}_m = F_{mx}\mathbf{i} + F_{my}\mathbf{j} + F_{mz}\mathbf{k} = \int_{-\frac{h}{2}}^{\frac{h}{2}} \mathbf{f} dz \quad (۱۳)$$

$$\mathbf{M}_m = M_{mx}\mathbf{i} + M_{my}\mathbf{j} + M_{mz}\mathbf{k} = \int_{-\frac{h}{2}}^{\frac{h}{2}} \mathbf{f}_z dz \quad (۱۴)$$

۲-۲. تئوری غیرمحلي

با توجه به خواص مکانیکی، شیمیابی و الکتریکی برتر، عناصر نانوسازه‌ها مثل نانوتیرها، نانوغشاها و نانوصفحات به‌طور معمول بعنوان اجزای سازنده در دستگاه‌های نانوالکترومکانیکی استفاده می‌شوند. از این‌رو، پیش‌بینی دقیق مشخصات ارتعاشی نانوسازه‌ها برای طراحی‌های مهندسی و تولید ضروری است. در بین سه روش ارائه شده برای تحلیل نانوسازه‌ها؛ یعنی مکانیک اتمی، مکانیک اتمی - محیط پیوسته و مکانیک محیط پیوسته، روش سوم هزینه محاسباتی کمتری نسبت به دو روش قبلی دارد. از سوی دیگر، تئوری پیوسته کلاسیک نمی‌تواند اثر اندازه و مقیاس را پیش‌بینی کند. در مقیاس نانو اثر اندازه مهم است. هم نتایج آزمایشگاهی و هم نتایج مربوط به شبیه‌سازی دینامیک مولکولی نشان می‌دهد که اثر مقیاس در خواص مکانیکی مواد، وقتی ابعاد این سازه‌ها کوچک می‌شوند، بسیار مهم و پرمعناست. برای حل این مشکل از نظریه محیط پیوسته غیرمحلي، که توسط ارینگن توسعه یافته است، برای پیش‌بینی دقیق رفتار مکانیکی نانوسازه‌ها در مدل‌های پیوسته استفاده شود. ماهیت این تئوری بر این فرض استوار است که تنفس در یک نقطه از جسم علاوه بر کرنش آن نقطه تابعی از کرنش سایر نقاط آن جسم نیز می‌باشد. از تئوری الاستیسیتیه غیرمحلي در زمینه ارتعاشات و آنالیز پایداری سازه‌ها با ابعاد میکرو و نانو استفاده می‌شود [۲۱-۲۲].

$$\mathbf{J} = \nabla \times \mathbf{h} \quad (۱)$$

$$\nabla \times \mathbf{e} = -\eta \frac{\partial \mathbf{h}}{\partial t} \quad (۲)$$

$$\nabla \cdot \mathbf{h} = 0 \quad (۳)$$

$$\mathbf{e} = -\eta \left(\frac{\partial \mathbf{U}}{\partial t} \times \mathbf{H} \right) \quad (۴)$$

$$\mathbf{h} = \nabla \times (\mathbf{U} \times \mathbf{H}) \quad (۵)$$

که در آن، \mathbf{H} بردار میدان مغناطیسی، \mathbf{U} بردار جابه‌جاگی، η ضریب میدان مغناطیسی و ∇ اپراتور هامیلتون است که به صورت زیر تعریف می‌شود:

$$\nabla = \frac{\partial}{\partial x} \mathbf{i} + \frac{\partial}{\partial y} \mathbf{j} + \frac{\partial}{\partial z} \mathbf{k} \quad (۶)$$

که \mathbf{i} ، \mathbf{j} ، \mathbf{k} بردارهای واحدند. در تحقیق حاضر، بردار میدان مغناطیسی اعمال شده به صفحه گرافن به صورت $\mathbf{H} = (H_x, H_y, 0)$ در نظر گرفته شده است. همچنین، بردار جابه‌جاگی هر نقطه از ورق طبق تئوری کیرشهف به صورت زیر است [۱۹]:

$$\mathbf{U} = u_x \mathbf{i} + u_y \mathbf{j} + u_z \mathbf{k}$$

$$u_x(x, y, z, t) = u(x, y, t) - z w_{,x}(x, y, t) \quad (۷)$$

$$u_y(x, y, z, t) = v(x, y, t) - z w_{,y}(x, y, t)$$

$$u_z(x, y, z, t) = w(x, y, t)$$

که u ، v و w جابه‌جاگی‌های صفحه میانی ورق گرافن در راستای x ، y و z هستند. با جایگذاری بردار میدان مغناطیسی و جابه‌جاگی در رابطه (۵) بردار توزیع میدان مغناطیسی طبق رابطه ۸ حاصل می‌شود:

$$\mathbf{h} = \left\{ -H_x(u_{y,y} + u_{z,z}) + H_y u_{x,y} \right\} \mathbf{i} - \left\{ H_y(u_{x,x} + u_{z,z}) - H_x u_{y,x} \right\} \mathbf{j} + \left\{ H_x u_{z,x} + H_y u_{z,y} \right\} \mathbf{k} \quad (۸)$$

همچنین با استفاده از رابطه ۱ چگالی جریان به دست می‌آید:

$$\begin{aligned} \mathbf{J} &= \left\{ -H_x(u_{y,xz} - u_{z,xy}) + H_y(u_{x,xz} + u_{z,yy}) \right. \\ &\quad \left. + u_{z,zz} \right\} \mathbf{i} - \left\{ H_x(u_{y,yz} + u_{z,zx} + u_{z,zz}) \right. \\ &\quad \left. + H_y(u_{z,xy} + u_{x,yz}) \right\} \mathbf{j} + \left\{ H_x(u_{y,xx} + u_{y,yy} + u_{z,yz}) - H_y(u_{x,xx} + u_{x,yy} + u_{z,xz}) \right\} \mathbf{k} \end{aligned} \quad (۹)$$

نیروی لورنتز ناشی از میدان مغناطیسی دو بعدی

درون صفحه‌ای به صورت زیر است [۲۰]:

$$\mathbf{f} = f_x \mathbf{i} + f_y \mathbf{j} + f_z \mathbf{k} = \eta(\mathbf{J} \times \mathbf{H}) \quad (۱۰)$$

با توجه به رابطه ۹، مؤلفه‌های نیروی لورنتز به صورت رابطه ۱۱ به دست می‌آیند. در تحلیل ارتعاش جانبی صفحه گرافن، فقط محاسبه جابه‌جاگی $w = w(x, y, t)$ مد نظر است. نیروی درون

$$\begin{aligned} M_{xx,xx}^{nl} + 2M_{xy,xy}^{nl} + M_{yy,yy}^{nl} - kw \\ + M_{my,y} + M_{mx,x} + F_{mz} = \rho h w_{tt} \end{aligned} \quad (18)$$

که ρ چگالی صفحه گرافن است. ممان های غیر محلی $M_{\alpha\beta}^l$ در رابطه ۱۸ توسط روابط زیر به ممان های محلی مرتبط می شود [۲۴]:

$$M_{xx}^{nl} - (e_0 a)^2 \nabla^2 M_{xx}^{nl} = M_{xx}^l = -D(w_{,xx} + v w_{,yy}) \quad (19)$$

$$M_{yy}^{nl} - (e_0 a)^2 \nabla^2 M_{yy}^{nl} = M_{yy}^l = -D(w_{,yy} + v w_{,xx}) \quad (20)$$

$$M_{xy}^{nl} - (e_0 a)^2 \nabla^2 M_{xy}^{nl} = M_{xy}^l = -D(1-v) w_{,xy} \quad (21)$$

که ∇^2 اپراتور لاپلاسین، $D=Eh^3/12(1-v^2)$ صلبیت خمشی، مدول الاستیسیته و v نسبت پواسون صفحه گرافن است. با ترکیب معادلات ۱۹ تا ۲۱ و معادله ۱۸ با روابط ۱۲ و ۱۳، معادله ارتعاش عرضی غیر محلی صفحه گرافن تحت تحريك میدان مغناطیسی بهصورت ۲۲ حاصل می شود:

$$\begin{aligned} D\nabla^4 w + \rho h \ddot{w} - k(e_0 a)^2 \nabla^2 w - (e_0 a)^2 \rho h \nabla^2 \ddot{w} \\ + kw - \eta h \left\{ H_x^2 (w_{,xx} - w_{,yy}) + H_y^2 (w_{,yy} - w_{,xx}) + \right. \\ \left. 4H_x H_y w_{,xy} \right\} + (e_0 a)^2 \eta h \nabla^2 \left\{ H_x^2 (w_{,xx} - w_{,yy}) \right. \\ \left. + H_y^2 (w_{,yy} - w_{,xx}) + 4H_x H_y w_{,xy} \right\} + \frac{\eta h^3}{12} \left\{ H_x^2 \times \right. \\ \left. (w_{,xxxx} - w_{,yyyy}) + H_y^2 (w_{,xxxx} - w_{,yyyy}) - 2H_x H_y \times \right. \\ \left. (w_{,xxxx} - w_{,yyyy}) \right\} - (e_0 a)^2 \frac{\eta h^3}{12} \left\{ H_x^2 \nabla^4 w_{,yy} + \right. \\ \left. H_y^2 \nabla^4 w_{,xx} - 2H_x H_y \nabla^4 w_{,xy} \right\} = 0 \end{aligned} \quad (22)$$

با توجه به رفتار هارمونیک خیز جانبی ورق در ارتعاش آزاد، خیز جانبی بهصورت $w(x,y,t)=W(x,y)e^{iat}$ در نظر گرفته شده و در معادله ۲۲ جایگذاری می شود. لذا معادله دیفرانسیل جزئی ۲۳ در حوزه مکان حاصل می شود:

$$\begin{aligned} D\nabla^4 W - \omega^2 \rho h W - k(e_0 a)^2 \nabla^2 W + \omega^2 (e_0 a)^2 \times \\ \rho h \nabla^2 w + kW - \eta h \left\{ H_x^2 (W_{,xx} - W_{,yy}) + H_y^2 (W_{,yy} - \right. \\ \left. W_{,xx}) + 4H_x H_y W_{,xy} \right\} + (e_0 a)^2 \eta h \nabla^2 \left\{ H_x^2 (W_{,xx} - \right. \\ \left. W_{,yy}) + H_y^2 (W_{,yy} - W_{,xx}) + 4H_x H_y W_{,xy} \right\} + \frac{\eta h^3}{12} \times \\ \left\{ H_x^2 (W_{,xxxx} - W_{,yyyy}) + H_y^2 (W_{,xxxx} - W_{,yyyy}) \right\} - (e_0 a)^2 \frac{\eta h^3}{12} \left\{ H_x^2 \times \right. \\ \left. - 2H_x H_y (W_{,xxxx} - W_{,yyyy}) \right\} - (e_0 a)^2 \frac{\eta h^3}{12} \left\{ H_x^2 \times \right. \\ \left. \nabla^4 W_{,yy} + H_y^2 \nabla^4 W_{,xx} - 2H_x H_y \nabla^4 W_{,xy} \right\} = 0 \end{aligned} \quad (23)$$

برای سهولت حل معادله ۲۳ پارامترهای زیر تعریف می شوند:

در این بخش، بیان مختصیه از الاستیسیته غیر محلی اعمال شده به نانوسازها ارائه شده است. در نظریه الاستیسیته غیر محلی، معادله ساختاری برای جسم الاستیک همگن خطی و همسانگرد بهصورت زیر است [۲۲]:

$$\sigma_{ij}(x) = \int_V \phi(|x-x'|, \alpha) \sigma_{ij}^c(x') dV \quad (14)$$

$$\sigma_{ij}^c(x') = C_{ijkl} \epsilon_{kl}(x')$$

که C_{ijkl} ، ϵ_{kl} ، σ_{ij}^c و V بهترتیب تنش غیر محلی، تنش کلاسیک، کرنش کلاسیک، تانسور سفتی الاستیسیته مرتبه چهار و حجم جسم هستند.تابع کرنل $\phi(|x-x'|, \alpha)$ به عنوان مدول غیر محلی شناخته می شود. مدول غیر محلی بهصورت یک تابع میرایی عمل می کند. طبق رابطه ۱۴، آثار غیر محلی در نقطه مرجع x به کرنش تمام نقاط x' مربوط می شود. عبارت $|x-x'|$ نشان دهنده فاصله در نرم اقلیدسی و α ثابت مادی است که به مشخصه های طولی داخلی (پارامتر شبکه، اندازه سلو، فاصله پیوند کربن - کربن) و خارجی (طول ترک، طول موج و جز اینها) بستگی دارد. مدول غیر محلی که توسط ارینگن ارائه شده، بهصورت زیر است [۲۲]:

$$\phi(|x|, \alpha) = \frac{1}{2\pi l^2 \alpha^2} K_0 \left(\frac{\sqrt{\mathbf{x} \cdot \mathbf{x}}}{l\alpha} \right) \quad (15)$$

که در آن، K_0 تابع بسل اصلاح شده و ثابت مادی e_0 می باشد. پارامتر غیر محلی e_0 ثابتی برای کالیبره کردن مدل با نتایج تجربی است. براساس تحقیقات ارینگن [۲۳]، مقدار عددی e_0 برابر با $+39^\circ$ گزارش شده است. مقادیر مختلف پارامتر غیر محلی e_0 توسط محققان مختلف در مرجع [۲۳] آمده است. پارامترهای a و l (در تعریف ثابت مادی α) مشخصه های طولی داخلی و خارجی نانوسازه می باشد. در نهایت، رابطه ساختاری ۱۴ به فرم دیفرانسیلی زیر مورد استفاده قرار می گیرد [۲۴]:

$$(1-\alpha^2 l^2 \nabla_L^2) \sigma_{ij}^c(x) = C_{ijkl} \epsilon_{kl}(x) \quad (16)$$

که در آن، ∇_L^2 لاپلاسین است. برای نانوسازه های دوبعدی

مثل صفحه گرافن، معادله ۱۶ به فرم ۱۷ ساده می شود [۲۴]:

$$\left[1 - (e_0 a)^2 \frac{\partial^2}{\partial x^2} + \frac{\partial^2}{\partial y^2} \right] \sigma = \sigma_{ij}^c \quad (17)$$

۳-۳. معادلات حاکم

معادله حاکم بر ارتعاش عرضی صفحه گرافن روی بستر الاستیک با ثابت k براساس گشتاورهای غیر محلی بهصورت ۱۸ است [۱۷]:

$$\begin{aligned}
 & \left(1 - \mu^2 M_{py} + \mu^2 M_{px} + \frac{\bar{h}^2}{12} M_{py} \right) \sum_{k=1}^n c_{i,k}^{(4)} \bar{W}_{k,j} \\
 & + r^2 \left(2 + \frac{\bar{h}^2}{12} M_{px} + \frac{\bar{h}^2}{12} M_{py} \right) \sum_{k_1=1}^n \sum_{k_2=1}^m c_{i,k_1}^{(2)} \bar{c}_{j,k_2}^{(2)} \bar{W}_{k_1,k_2} \\
 & + r^4 \left(1 - \mu^2 M_{px} + \mu^2 M_{py} + \frac{\bar{h}^2}{12} M_{px} \right) \sum_{k=1}^m \bar{c}_{j,k}^{(4)} \bar{W}_{k,i} \\
 & + K \bar{W}_{i,j} - 4M_{pxy} r \sum_{k_1=1}^n \sum_{k_2=1}^m c_{i,k_1}^{(1)} \bar{c}_{j,k_2}^{(1)} \bar{W}_{k_1,k_2} \\
 & + (M_{py} - M_{px} - \mu^2 K) \sum_{k=1}^n c_{i,k}^{(2)} \bar{W}_{k,j} \\
 & + r^2 (-M_{py} + M_{px} - \mu^2 K) \sum_{k=1}^m \bar{c}_{j,k}^{(2)} \bar{W}_{i,k} \\
 & + \left(4\mu^2 r M_{pxy} - \frac{\bar{h}^2 r}{6} M_{pxy} \right) \sum_{k_1=1}^n \sum_{k_2=1}^m c_{i,k_1}^{(3)} \bar{c}_{j,k_2}^{(1)} \bar{W}_{k_1,k_2} \\
 & + \left(4\mu^2 r^3 M_{pxy} - \frac{\bar{h}^2 r^3}{6} M_{pxy} \right) \sum_{k_1=1}^n \sum_{k_2=1}^m c_{i,k_1}^{(1)} \bar{c}_{j,k_2}^{(3)} \bar{W}_{k_1,k_2} \quad (26) \\
 & + \frac{\bar{h}^2 \mu^2 r^2}{12} (-M_{px} - 2M_{py}) \sum_{k_1=1}^n \sum_{k_2=1}^m c_{i,k_1}^{(4)} \bar{c}_{j,k_2}^{(2)} \bar{W}_{k_1,k_2} \\
 & + \frac{\bar{h}^2 \mu^2 r^4}{12} (-2M_{px} - M_{py}) \sum_{k_1=1}^n \sum_{k_2=1}^m c_{i,k_1}^{(2)} \bar{c}_{j,k_2}^{(4)} \bar{W}_{k_1,k_2} \\
 & - \frac{\bar{h}^2 \mu^2}{12} M_{py} \sum_{k=1}^n c_{i,k}^{(6)} \bar{W}_{k,j} - \frac{\bar{h}^2 \mu^2 r^6}{12} M_{px} \sum_{k=1}^m \bar{c}_{j,k}^{(6)} \bar{W}_{i,k} \\
 & + \frac{\bar{h}^2 \mu^2 r}{6} M_{pxy} \sum_{k_1=1}^n \sum_{k_2=1}^m c_{i,k_1}^{(5)} \bar{c}_{j,k_2}^{(1)} \bar{W}_{k_1,k_2} \\
 & + \frac{\bar{h}^2 \mu^2 r^3}{3} M_{pxy} \sum_{k_1=1}^n \sum_{k_2=1}^m c_{i,k_1}^{(3)} \bar{c}_{j,k_2}^{(3)} \bar{W}_{k_1,k_2} \\
 & + \frac{\bar{h}^2 \mu^2 r^5}{12} M_{pxy} \sum_{k_1=1}^n \sum_{k_2=1}^m c_{i,k_1}^{(1)} \bar{c}_{j,k_2}^{(5)} \bar{W}_{k_1,k_2} \\
 & = \Omega^2 \left(\bar{W}_{i,j} - \mu^2 \sum_{k=1}^n c_{i,k}^{(2)} \bar{W}_{k,j} - \mu^2 r^2 \sum_{k=1}^m \bar{c}_{j,k}^{(2)} \bar{W}_{i,k} \right)
 \end{aligned}$$

برای حل کامل معادله دیفرانسیل، شرایط مرزی آن باید اعمال شود. یکی از نکات مهم در روش مربعات دیفرانسیلی، نحوه اعمال شرایط مرزی در فرایند حل است.

۵-۲. اعمال شرایط مرزی

شرایط مرزی برای تکیه‌گاه‌های ساده (SSSS) به صورت روابط ۲۷ و برای تکیه‌گاه‌های گیردار (CCCC) به صورت روابط ۲۸ است:

$$\begin{aligned}
 \bar{W}(0, \bar{y}, t) &= 0, \bar{W}(1, \bar{y}, t) = 0 \\
 \bar{W}(\bar{x}, 0, t) &= 0, \bar{W}(\bar{x}, 1, t) = 0 \quad (27)
 \end{aligned}$$

$$\begin{aligned}
 \bar{W} &= \frac{W}{h}, \bar{x} = \frac{x}{L}, \bar{y} = \frac{y}{b}, \bar{h} = \frac{h}{L}, r = \frac{L}{b} \\
 \Omega_{mn} &= \omega_{mn} L^2 \sqrt{\frac{\rho h}{D}}, \mu = \frac{e_0 a}{L}, K = \frac{k L^4}{D} \quad (24)
 \end{aligned}$$

$$\begin{aligned}
 M_{px} &= \frac{\eta h H_x^2 L^2}{D}, M_{py} = \frac{\eta h H_y^2 L^2}{D}, \\
 M_{pxy} &= \frac{\eta h H_x H_y L^2}{D}
 \end{aligned}$$

در روابط بالا، L طول و b عرض ورق گرافنی است. با استفاده از پارامترهای بی بعد، معادله حاکم بر ارتعاش جانبی ورق گرافنی به صورت زیر به دست می‌آید:

$$\begin{aligned}
 & -\frac{M_{py} \bar{h}^2 \mu^2}{12} \frac{\partial^6 \bar{W}}{\partial \bar{x}^6} - \frac{M_{px} \bar{h}^2 \mu^2 r^6}{12} \frac{\partial^6 \bar{W}}{\partial \bar{y}^6} + \frac{\bar{h}^2 \mu^2 r^2}{12} \times \\
 & (-M_{px} - 2M_{py}) \frac{\partial^6 \bar{W}}{\partial \bar{x}^4 \partial \bar{y}^2} + \frac{\bar{h}^2 \mu^2 r^4}{12} (-2M_{px} - \\
 & M_{py}) \frac{\partial^6 \bar{W}}{\partial \bar{x}^2 \partial \bar{y}^4} + \frac{\bar{h}^2 \mu^2 r}{6} M_{pxy} \frac{\partial^6 \bar{W}}{\partial \bar{x}^5 \partial \bar{y}} + \frac{\bar{h}^2 \mu^2 r^5}{12} \times \\
 & M_{pxy} \frac{\partial^6 \bar{W}}{\partial \bar{x} \partial \bar{y}^5} + \frac{\bar{h}^2 \mu^2 r^3}{3} M_{pxy} \frac{\partial^6 \bar{W}}{\partial \bar{x}^3 \partial \bar{y}^3} + (1 - \mu^2 M_{py} \\
 & + \mu^2 M_{px} + \frac{\bar{h}^2}{12} M_{py}) \frac{\partial^4 \bar{W}}{\partial \bar{x}^4} + r^2 \left(2 + \frac{\bar{h}^2}{12} M_{px} + \right. \\
 & \left. \frac{\bar{h}^2}{12} M_{py} \right) \frac{\partial^4 \bar{W}}{\partial \bar{x}^2 \partial \bar{y}^2} + r^4 (1 - \mu^2 M_{px} + \mu^2 M_{py} + \quad (25) \\
 & \bar{h}^2 M_{px}) \frac{\partial^4 \bar{W}}{\partial \bar{y}^4} + \left(4\mu^2 r M_{pxy} - \frac{\bar{h}^2 r}{6} M_{pxy} \right) \frac{\partial^4 \bar{W}}{\partial \bar{x}^3 \partial \bar{y}} \\
 & + \left(4\mu^2 r^3 M_{pxy} - \frac{\bar{h}^2 r^3}{6} M_{pxy} \right) \frac{\partial^4 \bar{W}}{\partial \bar{x} \partial \bar{y}^3} - 4r M_{pxy} \times \\
 & \frac{\partial^2 \bar{W}}{\partial \bar{x} \partial \bar{y}} + (M_{py} - M_{px} - \mu^2 K) \frac{\partial^2 \bar{W}}{\partial \bar{x}^2} + r^2 (-M_{py} + \\
 & M_{px} - \mu^2 K) \frac{\partial^2 \bar{W}}{\partial \bar{y}^2} + K \bar{W} =
 \end{aligned}$$

$$\Omega^2 \left(\bar{W} - \mu^2 \frac{\partial^2 \bar{W}}{\partial \bar{x}^2} - \mu^2 r^2 \frac{\partial^2 \bar{W}}{\partial \bar{y}^2} \right)$$

ملاحظه می‌شود که با وجود مشتقهای جزئی از مرتباهای فرد در معادله حاکم رابطه ۲۵، امکان حل تحلیلی برای انواع شرایط مرزی وجود ندارد. لذا در ادامه، حل معادله فوق با استفاده از روش عددی مربعات دیفرانسیل صورت می‌پذیرد.

۲-۴. حل معادله با روش مربعات دیفرانسیل

با اعمال روش مربعات دیفرانسیل، معادله دیفرانسیل جزئی ۲۵ به معادله جبری ۲۶ تبدیل می‌شود (توضیح بیشتر در پیوست).

$$\frac{1}{\omega^2} \begin{bmatrix} [G_0] & [G_1]^T \\ [G_1] & [0] \end{bmatrix} \begin{Bmatrix} \{\bar{W}\} \\ \{\lambda\} \end{Bmatrix} = \begin{bmatrix} [E_0] & [E_1]^T \\ [E_1] & [0] \end{bmatrix} \begin{Bmatrix} \{\bar{W}\} \\ \{\lambda\} \end{Bmatrix} \quad (33)$$

با حل معادله بالا بهصورت یک مسئله مقدار ویژه و بردار ویژه، می‌توان فرکانس‌های طبیعی و شکل مودها را بدست آورد.

۳. بحث و بررسی نتایج

۳-۱. اعتبارسنجی

در این بخش، فرکانس پایه حاصل از حل عددی معادله ۲۶ با نتایج حل تحلیلی بهدست آمده توسط کیانی [۱۹] برای ورق مریع گرافنی با شرایط مرزی چهار لبه تکیه‌گاه ساده (SSSS) و مشخصات زیر اعتبارسنجی می‌شود:

$$M_{py} = M_{pxy} = 0, r = 1, \bar{h} = 0.013$$

فرکانس بی‌بعد برای صفحه گرافن تحت تحریک میدان مغناطیسی یکبعدی و برای تکیه‌گاه‌های ساده، بهصورت تحلیلی توسط کیانی مطابق رابطه زیر محاسبه شده است [۱۹].

$$\Omega_{mn} = \left(\frac{\xi_{mn}}{1 + \mu^2 \xi_{mn}} + M_{px} \left(\eta_{mn} + \frac{(n\pi\bar{h}r)^2}{12} \xi_{mn} \right) + K \right)^{\frac{1}{2}} \quad (34)$$

که در آن پارامترهای ξ_{mn} و η_{mn} بهصورت زیر تعریف می‌شوند:

$$\xi_{mn} = (m\pi)^2 + (n\pi r)^2 \quad (35)$$

$$\eta_{mn} = (m\pi)^2 - (n\pi r)^2$$

و m و n شماره شکل مود ارتعاشی صفحه گرافن هستند. در جدول ۱، فرکانس پایه بی‌بعد ورق گرافنی حاصل از مقاله حاضر با نتایج تحلیلی بهدست آمده از رابطه ۳۴ در چهار حالت مختلف مقایسه شده است. نتایج حاصل از روش دیفرانسیل مربعات به ازای تعداد نقاط شبکه‌بندی مختلف ($n=12, 13, 17$) ارائه شده است. نتایج جدول نشان‌دهنده تطابق خوب نتایج روش مربعات دیفرانسیلی با نتایج تحلیلی مرجع [۱۹] است. مطابق جدول، نتایج روش مربعات دیفرانسیل در تعداد نقاط شبکه‌بندی $n=13$ کاملاً همگرا می‌شود. لذا در ادامه، برای شبکه‌بندی طولی و عرضی ورق از ۱۳ نقطه استفاده شده است. برای نشان‌دادن قابلیت روش مربعات دیفرانسیل در تعیین درست شکل مودهای ارتعاشی، در شکل ۱ چهار شکل مود اول ورق گرافنی با چهار لبه

$$\frac{\partial^2 \bar{W}}{\partial \bar{x}^2} \Big|_{\text{along } \bar{x}=0,1}, \frac{\partial^2 \bar{W}}{\partial \bar{y}^2} \Big|_{\text{along } \bar{y}=0,1}$$

$$\bar{W}(0, \bar{y}, t) = 0, \bar{W}(1, \bar{y}, t) = 0$$

$$\bar{W}(\bar{x}, 0, t) = 0, \bar{W}(\bar{x}, 1, t) = 0$$

$$\frac{\partial \bar{W}}{\partial \bar{x}} \Big|_{\text{along } \bar{x}=0,1}, \frac{\partial \bar{W}}{\partial \bar{y}} \Big|_{\text{along } \bar{y}=0,1} \quad (28)$$

با اعمال روش مربعات دیفرانسیلی به شرایط مرزی، روابط جبری زیر حاصل می‌شود [۲۷-۲۶]:

الف) تکیه‌گاه‌های ساده (SSSS):

$$\begin{cases} \bar{W}_{1,j} = 0, \bar{W}_{N,j} = 0, i = 1, 2, \dots, n, j = 1, 2, \dots, m \\ \bar{W}_{i,1} = 0, \bar{W}_{i,N} = 0 \end{cases}$$

$$\begin{cases} \sum_{k=1}^n c_{1,k}^{(2)} \bar{W}_{k,j} = 0, \sum_{k=1}^n c_{n,k}^{(2)} \bar{W}_{k,j} = 0, \\ \sum_{k=1}^m \bar{c}_{1,k}^{(2)} \bar{W}_{i,k} = 0, \sum_{k=1}^m \bar{c}_{m,k}^{(2)} \bar{W}_{i,k} = 0 \end{cases} \quad (29)$$

ب) تکیه‌گاه‌های گیردار (CCCC):

$$\begin{cases} \bar{W}_{1,j} = 0, \bar{W}_{N,j} = 0, i = 1, 2, \dots, n, j = 1, 2, \dots, m \\ \bar{W}_{i,1} = 0, \bar{W}_{i,N} = 0 \end{cases}$$

$$\begin{cases} \sum_{k=1}^n c_{1,k}^{(1)} \bar{W}_{k,j} = 0, \sum_{k=1}^n c_{n,k}^{(1)} \bar{W}_{k,j} = 0, \\ \sum_{k=1}^m \bar{c}_{1,k}^{(1)} \bar{W}_{i,k} = 0, \sum_{k=1}^m \bar{c}_{m,k}^{(1)} \bar{W}_{i,k} = 0 \end{cases} \quad (30)$$

برای اعمال شرایط مرزی ۲۹ یا ۳۰، روش‌های مختلف توسط پژوهشگران مختلف به کار گرفته شده است. در این مقاله، اعمال شرایط مرزی توسط روش ویلسون صورت می‌پذیرد.

۲-۵. روش اعمال شرایط مرزی ویلسون

در حالت کلی شرایط مرزی بهصورت زیر است [۲۵]:

$$[G_1] \{ \bar{W} \} = \omega^2 [E_1] \{ \bar{W} \} \quad (31)$$

که G_1 و E_1 ماتریس‌های ضرایب مربوط به شرایط مرزی هستند. با ترکیب معادلات حاکم و شرایط مرزی، دستگاه معادلات جبری زیر حاصل می‌شود [۲۵]:

$$\frac{1}{\omega^2} \begin{bmatrix} [G_0] \\ [G_1] \end{bmatrix} \{ \bar{W} \} = \begin{bmatrix} [E_0] \\ [E_1] \end{bmatrix} \{ \bar{W} \} \quad (32)$$

که G_0 و E_0 ماتریس‌های ضرایب مربوط به جایه‌جایی نقاط آزمایشی در نظر گرفته شده روی صفحه گرافن هستند. به پیشنهاد ویلسون، با استفاده از روش ضرایب لاگرانژ، معادله ۳۲ می‌تواند به ماتریس مربعی زیر تبدیل شود [۲۵]:

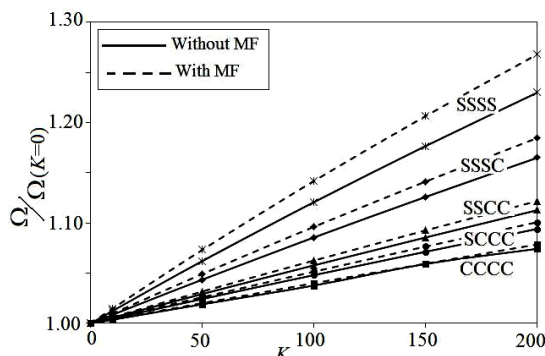
دیگر گیردار (SSCC)، یک لبه تکیه‌گاه ساده و سه لبه گیردار (SCCC) و چهار طرف گیردار (CCCC) ارائه شده است. برای بررسی این اثر مقدار پارامتر غیر محلی μ برابر با صفر در نظر گرفته شده است. اثر میدان مغناطیسی در نتایج جدول ۲ لحاظ نشده است، اما در نتایج جدول ۳ لحاظ شده است. همچنین، نتایج جدول ۲ و ۳ به صورت ترسیمی در شکل ۲ نمایش داده شده است. در شکل ۲ مشاهده می‌شود که با افزایش سفتی بستر الاستیک بی‌بعد، فرکانس پایه بی‌بعد، در تمامی شرایط تکیه‌گاهی، به صورت تقریباً خطی افزایش می‌یابد. هرچه شرایط مرزی ورق مقیدتر باشد، تأثیر سفتی بستر بر فرکانس پایه آن کمتر است.

جدول ۲. تأثیر سفتی بستر الاستیک K بدون وجود میدان مغناطیسی

Ω					K
CCCC	SCCC	SSCC	SSSC	SSSS	
۳۵/۹۸۵	۳۱/۸۲۵	۲۸/۹۵۰	۲۳/۶۴۶	۱۹/۷۳۹	•
۳۶/۱۲۳	۳۱/۹۸۲	۲۹/۱۲۳	۲۳/۸۵۶	۱۹/۹۹۰	۱۰
۳۶/۶۷۳	۳۲/۶۰۲	۲۹/۸۰۱	۲۴/۶۸۰	۲۰/۹۶۷	۵۰
۳۷/۳۴۸	۳۲/۲۶۰	۳۰/۶۲۹	۲۵/۶۷۳	۲۲/۱۲۷	۱۰۰
۳۸/۰۱۲	۳۴/۱۰۱	۳۱/۴۳۴	۲۶/۶۲۹	۲۲/۲۲۰	۱۵۰
۳۸/۶۶۴	۳۴/۸۲۶	۳۲/۲۲۰	۲۷/۵۰۲	۲۴/۲۸۲	۲۰۰

جدول ۳. تأثیر سفتی بستر الاستیک K با وجود میدان مغناطیسی

Ω					K
CCCC	SCCC	SSCC	SSSC	SSSS	
۳۴/۹۳۰	۳۰/۶۹۰	۲۷/۷۸۳	۲۲/۲۴۴	۱۸/۱۲۲	•
۳۵/۰۷۳	۳۰/۸۵۲	۲۷/۹۶۳	۲۲/۴۶۸	۱۸/۳۹۶	۱۰
۳۵/۶۳۹	۳۱/۴۹۴	۲۸/۶۶۹	۲۳/۳۴۱	۱۹/۴۵۳	۵۰
۳۶/۳۳۳	۳۲/۲۷۸	۲۹/۵۲۸	۲۴/۳۸۹	۲۰/۶۹۸	۱۰۰
۳۷/۰۱۵	۳۳/۰۴۳	۳۰/۳۶۳	۲۵/۳۹۳	۲۱/۸۷۳	۱۵۰
۳۷/۶۸۴	۳۳/۷۹۲	۳۱/۱۷۵	۲۶/۳۵۹	۲۲/۹۸۷	۲۰۰



شکل ۲. اثر سفتی بستر الاستیک K بر فرکانس پایه بی‌بعد

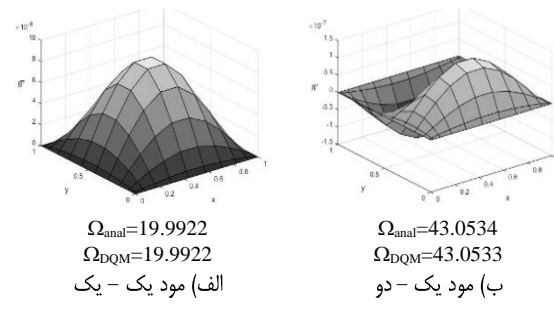
تکیه‌گاه ساده (SSSS)، به همراه فرکانس‌های مربوطه حاصل از روش مربعات دیفرانسیلی و روش تحلیلی (رابطه ۳۴) به ازای مشخصات زیر نشان داده شده است:

$$K = 10, M_{px} = 20, M_{py} = M_{pxy} = 0, \mu = 0,$$

$$r = 1, \bar{h} = 0.013$$

جدول ۱. مقایسه فرکانس پایه بی‌بعد حاصل از کار حاضر و حل تحلیلی

Ω_{anal}	$\Omega_{\text{DQM}}(12)$	$\Omega_{\text{DQM}}(13)$	$\Omega_{\text{DQM}}(17)$	K	M_{px}	μ
۱۹/۷۳۹۲۰	۱۹/۷۳۹۲۰	۱۹/۷۳۹۲۰	۱۹/۷۳۹۲۰	•	•	•
۱۹/۹۹۲۲۷	۱۹/۹۹۲۲۷	۱۹/۹۹۲۲۷	۱۹/۹۹۲۲۷	۱۰	۲۰	•
۱۹/۹۹۱۰۷	۱۹/۷۴۹۷۹	۱۹/۷۰۲۴۹	۱۹/۴۷۰۴۲	۱۰	۲۰	۰/۰۰۲۵
۱۹/۶۴۲۷۱	۱۹/۶۴۲۷۱	۱۹/۶۴۲۷۱	۱۹/۶۴۲۷۱	•	۲۰	۰/۰۲۲۵



شکل ۱. چهار شکل مود اول ورق گرافی به روش مربعات دیفرانسیل

۲-۳. نتایج تحقیق

در این قسمت، بررسی‌های پارامتری در مورد تأثیر سفتی بستر الاستیک، میدان مغناطیسی دوبعدی، پارامتر غیر محلی، شرایط مرزی و نسبت منظری ورق گرافی بر فرکانس پایه آن مورد بررسی قرار می‌گیرد. تمامی نتایج به ازای $r=1$ و $\bar{h}=0.013$ به دست آمدند. در جدول ۲ و ۳، اثر سفتی بستر الاستیک بی‌بعد بر فرکانس پایه بی‌بعد Ω ورق گرافی برای شرایط مرزی مختلف چهار لبه تکیه‌گاه ساده (SSSS)، سه لبه تکیه‌گاه ساده و یک لبه گیردار (SSSC)، دو لبه مقابل تکیه‌گاه ساده و دو لبه

نتیجه کاهش فرکانس پایه آن می‌شود. در جدول ۴ و ۵ اثر پارامتر غیرمحلی بی بعد μ بر فرکانس پایه بی بعد Ω ورق گرافنی برای شرایط مرزی مختلف ارائه شده است. در نتایج جدول ۴، اثر میدان مغناطیسی داخل صفحه‌ای لحاظ نشده است. در حالی که در جدول ۵ این اثر لحاظ شده است. همچنین ثابت بستر الاستیک بی بعد برابر صفر قرار داده شده است. نتایج عددی جدول ۴ و ۵ در شکل ۳ ترسیم شده است.

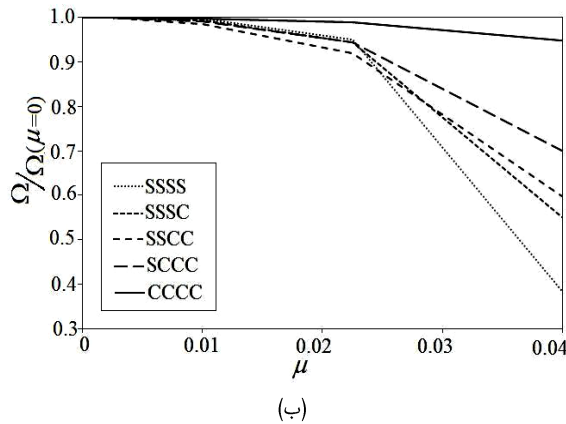
جدول ۵. تأثیر پارامتر غیرمحلی μ با وجود میدان مغناطیسی

Ω						μ
CCCC	SCCC	SSCC	SSSC	SSSS		
۳۴/۹۳۰	۳۰/۶۹۰	۲۷/۷۸۳	۲۲/۲۴۴	۱۸/۱۲۲		۰
۳۴/۹۲۷	۳۰/۶۷۳	۲۷/۷۶۰	۲۲/۲۳۷	۱۸/۱۲۱		۰/۰۰۲۵
۳۴/۸۷۹	۳۰/۴۰۷	۲۷/۴۰۶	۲۲/۱۰۵	۱۸/۰۷۰		۰/۰۱۰۰
۳۴/۵۸۹	۲۸/۹۷۴	۲۵/۵۶۴	۲۱/۰۱۹	۱۷/۲۴۵		۰/۰۲۲۵
۳۳/۱۳۴	۲۱/۴۷۹	۱۶/۵۸۳	۱۲/۲۶۰	۱۶/۹۶۹		۰/۰۴۰۰

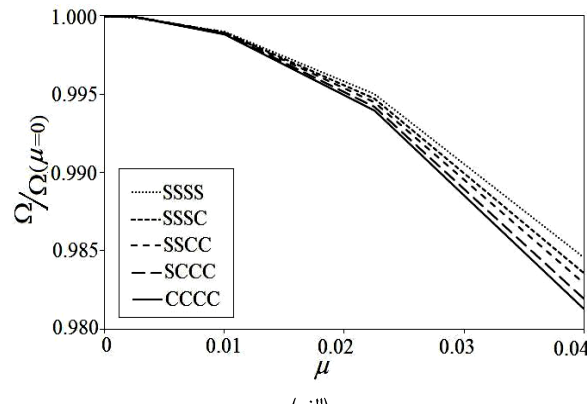
با مقایسه نتایج جدول ۲ و ۳ ملاحظه می‌شود که با اعمال میدان مغناطیسی بی بعد $M_{px}=M_{py}=20$ فرکانس پایه کاهش یافته است. مطابق رابطه ۲۵، میدان مغناطیسی داخل صفحه‌ای دو اثر مختلف روی صفحه دارد: اولاً باعث کاهش سفتی خمشی ورق می‌شود (ضرایب مشتق مرتبه چهارم W). ثانیاً باعث اعمال نیروی داخل صفحه‌ای فشاری به ورق می‌شود (ضرایب مشتق مرتبه دوم W). هر دو اثر منجر به کاهش سفتی خمشی صفحه گرافنی و در

جدول ۴. تأثیر پارامتر غیرمحلی μ بدون وجود میدان مغناطیسی

Ω						μ
CCCC	SCCC	SSCC	SSSC	SSSS		
۳۵/۹۸۵	۳۱/۸۲۵	۲۸/۹۵۰	۲۳/۶۴۶	۱۹/۷۳۹		۰
۳۵/۹۸۲	۳۱/۸۲۳	۲۸/۹۴۸	۲۳/۶۴۴	۱۹/۷۳۷		۰/۰۰۲۵
۳۵/۹۴۲	۳۱/۷۸۹	۲۸/۹۱۹	۲۳/۶۲۱	۱۹/۷۱۹		۰/۰۱۰۰
۳۵/۷۶۸	۳۱/۶۴۰	۲۸/۷۹۱	۲۳/۵۲۱	۱۹/۶۴۱		۰/۰۲۲۵
۳۵/۳۱۲	۳۱/۲۵۱	۲۸/۴۵۶	۲۳/۲۵۷	۱۹/۴۳۴		۰/۰۴۰۰



(ب)



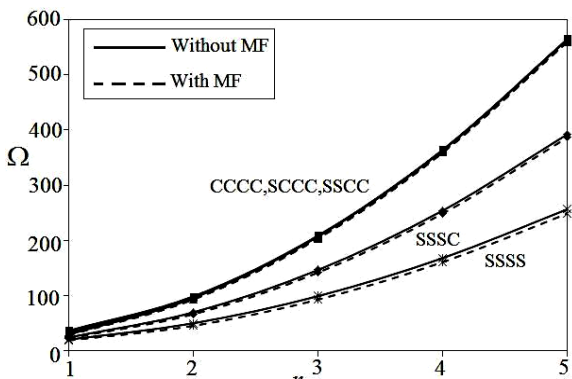
(الف)

شکل ۳. اثر پارامتر غیرمحلی بر فرکانس پایه بی بعد؛ (الف) بدون اثر میدان مغناطیسی، (ب) با میدان مغناطیسی $M_{px}=M_{py}=20$

کیانی [۱۹] مقایسه شده است. مطابق شکل در حضور میدان مغناطیسی یکبعدی، با افزایش پارامتر غیرمحلی، فرکانس پایه بی بعد افزایش می‌یابد. همچنین نتایج کار حاضر با نتایج رابطه تحلیلی کیانی [۱۹] در تطابق کامل است. در جدول ۶ و ۷، اثر نسبت منظری بی بعد ورق Ω بر فرکانس پایه بی بعد Ω ورق گرافنی برای شرایط مرزی مختلف ارائه شده است. در نتایج جدول ۶ اثر میدان مغناطیسی در نظر گرفته شده و در جدول ۷ در نظر گرفته نشده است. برای بررسی اثر نسبت منظری، پارامتر غیرمحلی μ و ثابت بستر الاستیک بی بعد برابر با صفر فرض شده است. نتایج عددی جداول ۶ و ۷ در شکل ۵ ترسیم شده

مطابق نتایج جداول و شکل، ملاحظه می‌شود که تأثیر تغییر پارامتر محلي بی بعد μ بر فرکانس پایه بی بعد ورق Ω بدون اثر میدان مغناطیسی ناچیز است؛ اما چنانچه میدان مغناطیسی بر ورق اعمال گردد، حساسیت فرکانس پایه بی بعد Ω به تغییرات پارامتر محلي بی بعد μ بهطور چشمگیری افزایش می‌یابد. هرچه تقید شرایط مرزی کمتر باشد، این حساسیت بیشتر است. مطابق شکل، افزایش پارامتر غیرمحلی سبب کاهش فرکانس پایه می‌شود. در شکل ۴، تأثیر پارامتر غیرمحلی بی بعد μ بر فرکانس پایه بی بعد Ω ورق گرافنی در حضور میدان مغناطیسی یک بعدی $M_{px}=100$ و $M_{py}=0$ مطابق روش عددی دیفرانسیل مربعات و فرمول تحلیلی

مقدار M_{py} تغییر داده شده است. همچنین پارامتر غیرمحلي μ و ثابت بستر الاستیک بی بعد برابر با صفر است. این نتایج بهصورت تصویری در شکل ۶ ترسیم شده است. نتایج نشان می دهد افزایش نسبت میدان مغناطیسی M_{py}/M_{px} باعث کاهش فرکанс افزایش نسبت میدان مغناطیسی M_{py}/M_{px} باعث کاهش فرکанс پایه بی بعد می شود. شدت این تأثیر تابعی از شرایط مرزی ورق پایه بی بعد می باشد.



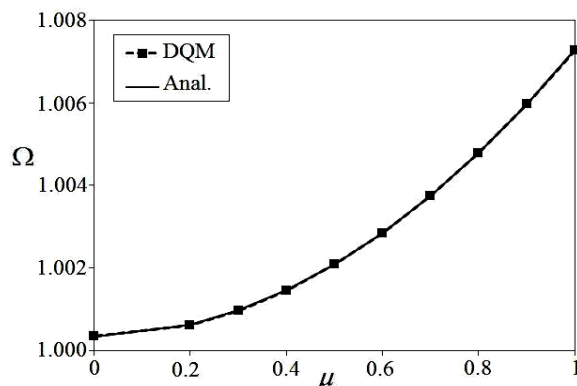
شکل ۵. تأثیر نسبت منظری بی بعد ورق
بر فرکанс پایه بی بعد

جدول ۷. تأثیر نسبت ابعاد ورق با وجود میدان مغناطیسی

	Ω					r
	CCCC	SCCC	SSCC	SSSC	SSSS	
۱	۳۴/۹۲۰	۳۰/۶۹۰	۲۷/۷۸۳	۲۲/۲۴۴	۱۸/۱۲۲	
۲	۸۷/۳۹۳	۶۰/۱۵۸	۳۷/۴۲۸	۳۷/۰۵۶	۳۶/۷۴۲	
۳	۱۹۸/۳۵۳	۱۳۴/۶۳۱	۸۳/۱۹۱	۸۳/۱۲۸	۸۳/۰۶۹	
۴	۳۵۴/۲۳۲	۲۴۱/۵۵۱	۱۵۰/۹۳۰	۱۵۰/۹۱۱	۱۵۰/۸۹۴	
۵	۵۵۵/۲۱۹	۳۷۹/۷۹۶	۲۳۹/۰۶۴	۲۳۹/۰۵۵	۲۳۹/۰۴۹	

با اعمال میدان مغناطیسی داخل صفحه‌ای دو بعدی فرکанс پایه کاهش یافته است. افزایش پارامتر غیرمحلي سبب کاهش فرکанс پایه بی بعد می شود. این اثر با حضور میدان مغناطیسی دو بعدی بیشتر می شود. در صورتی که با اعمال میدان مغناطیسی یک بعدی، نتیجه معکوس حاصل می شود. با افزایش نسبت منظر دو بعدی، فرکанс پایه بی بعد افزایش می باید. شدت این افزایش، در شرایط مرزی CCCC، SCCC و SSSC بیشتر و در شرایط مرزی SSSS کمتر است. همچنین با اعمال میدان مغناطیسی بی بعد فرکанс پایه کاهش پیدا می کند. علت این امر، کاهش سفتی خمسی و اعمال نیروی فشاری داخل صفحه‌ای است.

است. مشاهده می شود که با افزایش نسبت منظری بی بعد r فرکانس پایه بی بعد افزایش می باید. شدت این افزایش، در شرایط مرزی CCCC، SCCC و SSSC بیشتر و در شرایط مرزی SSSS کمتر است. در جدول ۸، تأثیر نسبت میدان مغناطیسی در دو راستا M_{py}/M_{px} بر فرکانس پایه بی بعد نمایش داده شده است. در این جدول، مقدار M_{px} ثابت و برابر با ۲۰ در نظر گرفته شده و



شکل ۶. مقایسه منحنی فرکانس - پارامتر غیرمحلي طبق کار حاضر
و فرمول تحلیل کیانی [۱۸] در میدان مغناطیسی $M_{px}=100, M_{py}=0$

جدول ۶. تأثیر نسبت منظری بی بعد ورق r بدون وجود میدان مغناطیسی

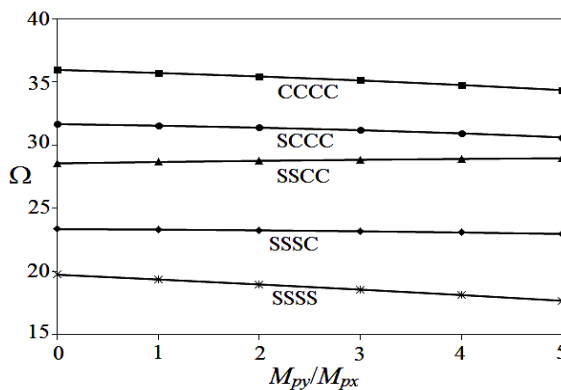
	Ω					r
	CCCC	SCCC	SSCC	SSSC	SSSS	
۱	۳۵/۹۸۵	۳۱/۸۲۵	۲۸/۹۵۰	۲۳/۶۴۶	۱۹/۷۳۹	
۲	۹۱/۱۹۴	۶۳/۹۸۲	۴۲/۵۸۶	۴۲/۲۳۹	۴۱/۹۴۵	
۳	۲۰۲/۰۲۱	۱۳۹/۶۶۳	۹۰/۰۳۸	۸۹/۹۱۷	۸۹/۹۲۳	
۴	۳۵۸/۳۲۸	۲۴۷/۱۷۵	۱۵۸/۵۶۴	۱۵۸/۰۴۶	۱۵۸/۰۳۰	
۵	۵۵۹/۵۵۶	۳۸۵/۷۶۰	۲۴۷/۱۴۹	۲۴۷/۱۴۱	۲۴۷/۱۲۴	

۴. نتیجه گیری

در این مقاله، معادله حاکم بر ارتعاش جانبی صفحه گرافنی تک لایه تحت میدان مغناطیسی دو بعدی درون صفحه‌ای، با اعمال تئوری غیرمحلي به دست آمد. پس از استخراج معادله دیفرانسیل حاکم بر مسئله، بر مبنای روش تفکیک متغیرها، معادله حاصل بی بعد شده و فرکانس ارتعاش به ازای تکیه گاههای مختلف با استفاده از روش مربعات دیفرانسیلی به دست آمد. اهم نتایج حاصل از مقاله بدین شرح است. با افزایش سفتی بستر الاستیک بی بعد، فرکانس پایه بی بعد در تمامی شرایط تکیه گاهی بهصورت تقریباً خطی افزایش می باید. هرچه شرایط مرزی ورق مقیدتر باشد، تأثیر سفتی بستر بر فرکانس پایه آن کمتر است.

جدول ۸ تأثیر نسبت میدان مغناطیسی در دو راستا بر فرکانس پایه

Ω					M_{py}/M_{px}
CCCC	SCCC	SSCC	SSSC	SSSS	
۳۵/۹۲۶	۳۷/۰۲۱	۲۹/۶۵۸	۲۴/۱۶۷	۱۹/۷۴۰	۰
۳۴/۹۳۰	۳۰/۶۹۰	۲۷/۷۸۳	۲۲/۲۴۴	۱۸/۱۲۲	۱
۳۳/۷۱۱	۲۹/۰۲۸	۲۵/۴۹۳	۱۹/۸۱۶	۱۶/۱۷۷	۲
۳۲/۱۷۵	۲۶/۹۰۴	۲۲/۵۴۵	۱۶/۴۰۹	۱۳/۶۶۶	۳
۳۰/۱۵۰	۲۴/۰۳۰	۱۸/۳۷۸	۹/۷۲۸	۹/۷۵۰	۴



شکل ۶. نسبت میدان مغناطیسی بر فرکانس پایه طبیعی بی بعد

رفتار دینامیکی و استاتیکی نانولوله‌ها و نانوصفحات به کار گرفته شد [۳۰-۳۷]. استفاده از روش مربعات دیفرانسیل دو مزیت نسبت به سایر روش‌های عددی دارد: اولاً، در این روش توابع در یک مختصات مرجع و با استفاده از چندجمله‌ای‌های مراتب بالا تقریب زده می‌شوند. ثانیاً، روش مذکور مشتق تابع در یک نقطه را مستقیماً بر حسب مقادیر تابع در نقاط مجاور تقریب می‌زنند. در این روش، مشتق تابع توسط یک سری شامل ضرایب وزنی و مقادیر تابع در نقاط گره‌ای تقریب زده می‌شود. بنا به روش بیان شده، مشتق m ام تابع تک متغیره $(\tau, f(x))$ به فرم زیر تقریب زده می‌شود [۲۶]:

$$\frac{\partial^m f(X_i, \tau)}{\partial X^m} = f_X^{(m)}(X_i, \tau) = \sum_{j=1}^N c_{i,j}^{(m)} f(X_j, \tau) \quad (36)$$

$$i, j = 1, 2, \dots, N, \quad m = 1, 2, \dots, N-1$$

به طوری که N تعداد نقاط شبکه‌بندی موجود در راستای هر یک از متغیرهای مشتق‌گیری می‌باشد. در رابطه ۳۶، عبارت $C_{i,j}^{(m)}$ ضرایب وزنی مربوط به نقاط i ام از دامنه حل می‌باشند. برای رابطه ۳۷ وجود دارد [۲۶]:

$$C_{i,j}^{(1)} = \frac{1}{X_j - X_i} \prod_{k=1, k \neq i}^N \frac{X_i - X_k}{X_j - X_k}, \quad j \neq i \quad (37)$$

پیوست: روش مربعات دیفرانسیل

امروزه روش‌های عددی مختلفی برای حل مسائل شرایط اولیه یا مسائل شرایط مرزی در علوم فیزیک و مهندسی در دسترس می‌باشند. در سال‌های اخیر، روش مربعات دیفرانسیل برای حل سریع و مؤثر مسائل مختلف علوم و مهندسی بسیار مورد توجه بوده است. روش مربعات دیفرانسیل یک روش عددی برای حل معادلات دیفرانسیل است. این روش، در سال ۱۹۷۰ م توسط ریچارد بلمن و همکارش کستی به وجود آمد [۲۶]. مسئله مهم در روش مربعات دیفرانسیل، تعیین ضرایب وزنی است. به دست آوردن ضرایب وزنی، وقتی مرتبه معادلات سیستم بزرگ و تعداد نقاط شبکه زیاد است، بسیار دشوار است.

از اواخر سال ۱۹۸۰ م، در سایه تلاش‌های مبتکرانه محققان در محاسبه ضرایب وزنی، روش مربعات دیفرانسیل بهطور چشمگیری پیشرفت کرد. در نتیجه، روش مربعات دیفرانسیل به عنوان یک روش عددی قدرتمند در دهه گذشته پدیدار شده است. در مقایسه با روش‌های تفاضل محدود و المان محدود، روش مربعات دیفرانسیل با استفاده از تعداد نقاط شبکه کم و در نتیجه تلاش محاسباتی اندک، نتایج عددی بسیار دقیقی ارائه می‌دهد [۲۶]. لذا این روش در تحقیقات بسیاری برای بررسی

این روش، توسط برتر و مالیک پیشنهاد شد. توزیع نقاط شبکه‌بندی چبیشف- گوس- لوباتو در حالت دو بعدی به صورت زیر است:

$$\begin{cases} X_i = \frac{L}{2} \left\{ 1 - \cos \left[\frac{(i-1)}{(N-1)} \pi \right] \right\} \\ Y_i = \frac{b}{2} \left\{ 1 - \cos \left[\frac{(i-1)}{(N-1)} \pi \right] \right\} \end{cases} \quad i = 1, 2, \dots, N \quad (39)$$

به طوری که در رابطه بالا، L طول و b عرض صفحه است.

$$C_{i,i}^{(1)} = \sum_{k=1, k \neq i}^N \frac{1}{X_i - X_k}$$

$$\text{توسط رابطه بازگشتی } 38, \text{ ضرایب وزنی } C_{i,j}^{(m)} \text{ برحسب ضریب وزنی } C_{i,j}^{(1)} \text{ محاسبه شوند } [26]:$$

$$\left[c^{(m)} \right] = \left[c^{(1)} \right] \left[c^{(m-1)} \right] = \left[c^{(m-1)} \right] \left[c^{(1)} \right] \quad (38)$$

$$m = 2, 3, \dots, N-1$$

در دقت و سرعت همگرایی روش مربعات دیفرانسیل، توزیع نقاط شبکه‌بندی نقش اساسی دارد. به عنوان ایده‌ای کارآمد، توزیع نقطه‌ای چبیشف- گوس- لوباتو جهت به کارگیری در شبکه‌بندی

۵. مأخذ

- [1] T. Monetta, A. Acuesta, F. Bellucci, Graphene/Epoxy coating as multifunctional material for aircraft structures, *Aerospace*, Vol. 2, pp. 423-434, 2015.
- [2] S. Bellucci, J. Gonzalez, F. Guinea, P. Onorato, E. Perfetto, Magnetic field effects in carbon nanotubes, *Journal of Physics: Condens Matter*. Vol. 19, No. 39, 2007.
- [3] S. Li, H. Xie, X. Wang, Dynamic characteristics of multi-walled carbon nanotubes under a transverse magnetic field, *Bulletin of Materials Science*, Vol. 34, pp. 45–52, 2011.
- [4] M. Kibalchenko, M. Payne, J. Yates, Magnetic response of single-walled carbon nanotubes induced by an external magnetic field, *American chemical society Nano*, Vol. 5, No. 1, pp. 537-545, 2011.
- [5] Z. Fu, Z. Wang, S. Li, P. Zhang, Magnetic quantum oscillations in a monolayer graphene under a perpendicular magnetic field, *Chinese Physics B*, Vol. 20, No. 5, 2011.
- [6] F. Lopez-Urias, J. Rodriguez-Manzo, E. Munoz-Sandoval, M. Terrones, H. Terrones, Magnetic response in finite carbon graphene sheets and nanotubes, *Optical Materials*, Vol. 29, No. 1, pp. 110-115, 2006.
- [7] K. Shizuya, Electromagnetic response and effective gauge theory of graphene in a magnetic field, *Physical Review B*, Vol. 75 , 2007.
- [8] Y. Wang, Y. Huang, Y. Song, X. Zhang, Y. Ma, J. Liang, Room-temperature ferromagnetism of
- graphene, *Nano Letters*, Vol. 9, No. 1, pp. 220-224, 2009.
- [9] T. Murmu, S. Adhikari, Axial instability of double-nano beam-systems, *Physics Letters A*, Vol. 375, pp. 601-608, 2011.
- [10] T. Murmu, S. Adhikari, Nonlocal vibration of bonded double-nanoplate-systems, *Composites: Part B*, Vol. 42, pp. 1901- 1911, 2011.
- [11] T. Murmu, S. C. Pradhan, Vibration analysis of nanoplates under uniaxial prestressed conditions via nonlocal elasticity, *Journal of Applied Physics*, Vol. 106, 2009.
- [12] K. Kiani, Vibration analysis of elastically restrained double-walled carbon nanotubes on elastic foundation subjected to axial load using nonlocal shear deformable beam theories, *International Journal of Mechanical Sciences*, Vol. 68, pp. 16-34, 2012.
- [13] H. Ajiki, T. Ando, Energy bands of carbon nanotubes in magnetic fields, *Journal of Physical Society of Japan*, Vol. 65, pp. 505-514, 1996.
- [14] R. Saito, G. Dresselhaus, M. S. Dresselhaus, *Physical Properties of Carbon Nanotubes*, Imperial College Press, London, 1998.
- [15] A. Ghorbanpour Arani, S. Amir, Magneto-thermo-elastic stresses and perturbation of magnetic field vector in a thin functionally graded rotating disk, *Journal of Solid Mechanics*, Vol. 3, No. 4, pp. 392-407, 2011.
- [16] K. Kiani, Transverse wave propagation in elastically confined single-walled carbon nanotubes subjected to longitudinal magnetic

- fields using nonlocal elasticity models, *Physica E*, Vol. 45, pp. 86-96, 2012.
- [17] T. Murmu, M. A. McCarthy, S. Adhikari, In-plane magnetic field affected transverse vibration of embedded single-layer graphene sheets using equivalent nonlocal elasticity approach, *Composite Structures*, Vol. 96, pp. 57-63, 2013.
- [18] K. Kiani, Free vibration of conducting nanoplates exposed to unidirectional in-plane magnetic fields using nonlocal shear deformable plate theories, *Physica E*, Vol. 57, pp. 179-192, 2014.
- [19] K. Kiani, Revisiting the free transverse vibration of embedded single-layer graphene sheets acted upon by an in-plane magnetic field, *Journal of mechanical science and Technology*, Vol. 28, No. 9, pp. 3511-3516, 2014.
- [20] T. Murmu, S. Adhikari, M. A. McCarthy, Axial vibration of embedded nanorods under transverse magnetic field effects via nonlocal elastic continuum theory, *Journal of Computational and Theoretical Nanoscience*, Vol. 11, No. 5, pp. 1230-1236, 2014.
- [21] P. Malekzadeh, A. R. Setoodeh, A. Alibeygi Beni, Small scale effect on the free vibration of orthotropic arbitrary straight-sided quadrilateral nanoplates, *Composite Structures*, Vol. 93, pp. 1631-1639, 2011.
- [22] A. Eringen, On differential-equations of nonlocal elasticity and solutions of screw dislocation and surface-waves, *Journal of Applied Physics*, Vol. 54, pp. 4703, 1983.
- [23] S. Narendar, S. Gopalakrishnan, Spectral finite element formulation for nanorods via nonlocal continuum mechanics, *Journal of Applied Mechanics-Trans ASME*, Vol. 78, No. 6, 2011.
- [24] S. C. Pradhan, A. Kumar, Vibration analysis of orthotropic graphene sheets using nonlocal elasticity theory and differential quadrature method, *Composite Structures*, Vol. 93, No. 2, pp. 774-779, 2011.
- [25] S. Rajasekaran, *Structural Dynamics of Earthquake Engineering*, Woodhead Publishing Series in Civil and Structural Engineering, 2009.
- [26] Chang Shu, *Differential Quadrature and its Application in Engineering*, Springer Verlag London Berlin Heidelberg, 1999.
- [27] R. Kolahchi, H. Hosseini, M. Esmailpour, Differential cubature and quadrature-Bolotin methods for dynamic stability of embedded piezoelectric nanoplates based on visco-nonlocal-piezoelasticity theories, *Composite Structures*, Vol. 157, pp. 174-186, 2016.
- [28] R. Ansari, M. Faghish Shojaei, A. Shahabodini, M. Bazdid-Vahdati, Three-dimensional bending and vibration analysis of functionally graded nanoplates by a novel differential quadrature-based approach, *Composite Structures*, Vol. 131, pp. 753-764, 2015.
- [29] S. C. Pradhan, R. Raj, Vibration analysis of nanoplate with various boundary conditions using DQ method, *Journal of Computational and Theoretical Nanoscience*, Vol. 8, No. 8, pp. 1432-1436, 2011.
- [30] M. Ghadiri, N. Shafiei, H. Alavi, Thermo-mechanical vibration of orthotropic cantilever and propped cantilever nanoplate using generalized differential quadrature method, *Mechanics of Advanced Materials and Structures*, 2016.